

# ヴォートンによる渦運動の研究

名大 工学部 桑原真二

(KUWABARA Sinzi)

## §1. まえおき

こゝでは縮まない完全流体の渦運動を考へる。このまじり  
流れにおいて、渦糸の微小部分が初期に長さベクトル  $d\hat{x}$ 、  
渦度  $\hat{\omega}$ 、断面積  $\hat{\sigma}$  をもち、時刻  $t$  でそれぞれ  $dx$ 、 $\omega$ 、 $\sigma$  にな  
つたとすれば

$$\left. \begin{aligned} dx // \omega & \quad (d\hat{x} // \hat{\omega}) \\ \hat{\omega} \hat{\sigma} = \omega \sigma \equiv \Gamma, \quad \hat{\sigma} d\hat{s} = \sigma ds \quad (ds = |dx|) \end{aligned} \right\} (1.1)$$

が成立つ。すなわち渦糸はいつでも同じ実質部分からなり、渦  
の強さ  $\Gamma$  は保存すと考へられる。それ故渦糸はいつまでも  
個性を保っている。これが渦糸モデルの基礎をなしている。

実際の渦運動では渦のつなぎかえが起る。これは転位によ  
り渦度の拡散が本質的である。この現象を渦糸モデルによつ  
てシミュレートするには、物理的考察をまじえてつなぎかえ  
を人工的に行ってやる必要がある。

vortexon という言葉は Saffman<sup>(\*)</sup> の創作と思われ、こゝ  
では次のように理解する。渦場を多くの細胞に分割し、  
一つの細胞を代表する位置と渦度と体積によつて特徴づけられ

るものと仮定する。そしてこれらの量の時間的発展を Lagrange 的に追跡する。このようなモデルでは渦系の連続性は表わさ理ねないが、近似的に成立っている。渦のつなぎかえも、渦度の拡散又はそれに相当する効果（例えば、衝撃波における von Neumann-Richtmeyer の方法のような）を計算スキームにふくめれば、渦系モデルよりスムーズに行うことができると考えられる。

渦運動ではハリシテイ  $H(t)$  と エンストロフィ  $E_s(t)$  という量が重要と考えられる。各々

$$H(t) = \iiint v(x, t) \cdot \omega(x, t) d^3x \quad (1.2)$$

$$E_s(t) = \frac{1}{2} \iiint \omega(x, t)^2 d^3x \quad (1.3)$$

で定義される。ハリシテイの時間変化を考えよう。まず

$$\begin{aligned} \iiint_V \frac{\partial}{\partial t} v \cdot \omega d^3x &= \iiint_V \left( \frac{\partial v_\alpha}{\partial t} \omega_\alpha + v_\alpha \frac{\partial \omega_\alpha}{\partial t} \right) d^3x \\ &= \iiint_V \left[ \left( -v_\beta \frac{\partial v_\alpha}{\partial x_\beta} - \frac{1}{\rho} \frac{\partial p}{\partial x_\alpha} \right) \omega_\alpha + v_\alpha \left( -v_\beta \frac{\partial \omega_\alpha}{\partial x_\beta} + \omega_\beta \frac{\partial v_\alpha}{\partial x_\beta} \right) \right] d^3x \\ &= \iiint_V \frac{\partial}{\partial x_\alpha} \left( \frac{p}{\rho} \omega_\alpha - v_\alpha v_\beta \omega_\beta + \frac{1}{2} v_\beta v_\beta \omega_\alpha \right) d^3x \\ &= \iiint_V \operatorname{div} \left( \frac{p}{\rho} \omega - v(v \cdot \omega) + \frac{1}{2} v^2 \omega \right) d^3x \\ &= \iint_{\partial V} \left( \frac{p}{\rho} \omega - v(v \cdot \omega) + \frac{1}{2} v^2 \omega \right) \cdot n dS \quad (1.4) \end{aligned}$$

が成立つ。今  $v \cdot \omega \neq 0$  の領域が有界で、無限遠  $\Gamma$  (1.4) の

最後の項が 0 となりと仮定すれば

$$\iiint \frac{\partial}{\partial t} \mathbf{v} \cdot \boldsymbol{\omega} d^3x = \frac{d}{dt} \iiint \mathbf{v} \cdot \boldsymbol{\omega} d^3x = \frac{d H_L}{dt} = 0 \quad (1.5)$$

が成立し、上に述べた条件 ( $\boldsymbol{\omega} \cdot \mathbf{v}$  が 0 の領域が有界。無限遠からの  $H_L$  への寄与がない) を満足すれば、ヘリシティは時間的に不変である。

## §2. ヴォートン力学の基礎方程式

縮まない流体の渦運動では、縮まない条件  $\text{div } \mathbf{v} = 0$  から速度場は (副条件を伴う) ベクトルポテンシャル  $\mathcal{C}(x)$  により

$$\left. \begin{aligned} \mathbf{v}(x) &= \text{rot } \mathcal{C}(x) \\ \text{div } \mathcal{C} &= 0 \quad (\text{副条件}) \end{aligned} \right\} (2.1)$$

で表わされ、渦度の定義  $\boldsymbol{\omega} = \text{rot } \mathbf{v}$  より  $\mathcal{C}$  は

$$\nabla^2 \mathcal{C} = -\boldsymbol{\omega} \quad (2.2)$$

を満足する。無限広い空間で、無限遠からの効果が無いとすれば

$$\mathcal{C}(x) = \frac{1}{4\pi} \iiint \frac{1}{r} \boldsymbol{\omega}(x') d^3x' \quad r = |r| = |x - x'| \quad (2.3)$$

したがって、速度は

$$\mathbf{v}(x) = \frac{1}{4\pi} \iiint \frac{1}{r^2} \boldsymbol{\omega}(x') \times \mathbf{r} d^3x' \quad (2.4)$$

で表わされる。これを Lagrange 変換で表わせば

$$\mathbf{v}(a_i, t) = \frac{1}{4\pi} \iiint \boldsymbol{\omega}(a_i', t) \times \mathbf{r} / r^3 d^3a_i' \quad (2.4')$$

となる。(2.4') では

$$\left. \begin{aligned}
 v(x(a,t), t) & \in v(a, t) \\
 \omega(x(a,t), t) & \in \omega(a, t) \\
 R & = x(a, t) - x(a', t)
 \end{aligned} \right\} (2.5)$$

で表わしてゐる。

流体粒子の運動と渦度の Lagrange 的变化は

$$\frac{Dx}{Dt} = v(x, t) \quad (2.6)$$

$$\frac{D\omega}{Dt} = (\omega \cdot \text{grad}) v(x, t) \quad (2.7)$$

で表わされる。 (2.6) (2.7) の右辺の  $v$  は (2.4) を代入し、

Lagrange 表現で表わせば

$$\frac{D}{Dt} x(a, t) = \frac{1}{4\pi} \iiint \omega(a', t) \times R \frac{1}{r^3} d^3 a' \quad (2.8)$$

$$\begin{aligned}
 \frac{D}{Dt} \omega(a, t) & = \frac{1}{4\pi} \iiint \left[ \frac{1}{r^3} \omega(a', t) \times \omega(a, t) \right. \\
 & \quad \left. - \frac{3}{25} \omega(a', t) \times R (R \cdot \omega(a, t)) \right] d^3 a' \quad (2.9)
 \end{aligned}$$

とされる。

連続した渦場を及くの細胞に分割し、各細胞を代表点の位置、渦度、体積で特徴づけられると仮定し、その運動を Lagrange 的に追跡する。各細胞は  $l$  で番号づけられ、その Lagrange 座標は  $(l, t)$  における位置は

$$a = A(l), \quad x = X(l, t) \quad (2.10)$$

で、又その渦度は

$$\omega(x, t) = \sum_l \Omega(l, t) \delta^3(x - X(l, t)) \nabla(l) \quad (2.11)$$

4

$$\omega(\alpha, t) = \sum_l \Omega(l, t) \delta^3(\alpha - A(l)) V(l) \quad (2.11)$$

で表わされしものとす。こゝで  $V(l)$  は細胞  $l$  の体積で、縮まない流体を考えてゐるから、時間的に一定である。更に特性関数を

$$A(l, \alpha) = \begin{cases} 1 & \alpha \in \text{細胞 } l \\ 0 & \alpha \notin \text{細胞 } l \end{cases} \quad (2.12)$$

で定義する。まず (2.8) に  $\delta^3(\alpha - A(l))$  をかけ、(2.12) に

(2.12) をかけて  $\alpha$  で積分すると各々

$$\frac{D}{Dt} X(l, t) = \frac{1}{4\pi} \sum_{l'} \frac{V(l)}{|X(l, t) - X(l', t)|^3} \Omega(l', t) \times (X(l, t) - X(l', t)), \quad (2.13)$$

$$\begin{aligned} \frac{D}{Dt} \Omega(l, t) = & \frac{1}{4\pi} \sum_{l'} \left[ \frac{\Omega(l', t) \times \Omega(l, t)}{|X(l, t) - X(l', t)|^3} \right. \\ & - \frac{3}{|X(l, t) - X(l', t)|^5} \Omega(l', t) \times (X(l, t) - X(l', t)) \\ & \left. (\Omega(l, t) \cdot (X(l, t) - X(l', t))) \right] V(l') \end{aligned} \quad (2.14)$$

をうる。(2.13), (2.14) がヴォーゴートの基礎方程式である。

ヴォーゴート力学の方程式を上のように  $\alpha$  についての積分でなく、 $X$  についての積分でも行うことが出来る。すなわち、 $\omega$  として (2.11), 特性関数として (2.12) で  $\alpha \in X$  にかえても、(2.8) に  $\delta^3(X - X(l, t))$  をかけて  $X$  についての積分する等の変更を行うものである。しかし、前者の方が直截簡明で

あり。

### §3. 乱流境界層におけるバーヌトのヴォートン・モデルによる解析

今まで渦系モデルで行ってきたように<sup>2)</sup>、乱流境界層を流れの方向( $x$ )には変化しない、 $y$  ( $\geq 0$ ) だけに依存する(実験式でなくこれらの平均流をもつ縮まない粘性のない渦運動とみなす。初期の壁( $y=0$ )から有限の高さ  $h$  の、 $x$  方向には無限に長い領域の平均流を、 $y$  方向に無限に長い断面  $a_1 \times a_2$  ( $N_2 a_2 = h$ ) の渦管に分割し、更に渦管をその中心に渦系を置いて近似する。つまり、 $y$  方向に等間隔に配列した渦列で近似したことになる。そして1列の渦列は同じ強さの  $x$  方向に等間隔に無限に列んだ渦系よりなる。その強さは渦列のある場所の平均流の速度の配に比例するから、各渦列によつて異なる。壁における流れ速度0の境界条件は、上述の渦系の鏡像をとりことして満足される(鏡像は  $y \leq 0$  に存在する)。これまでの近似段階において各渦列は他の渦列 ( $0 \leq |y| \leq h$ ) と連続な渦度 ( $|y| > h$ ) からの誘導速度によつて  $x$  方向に等速度で移動する。

まずこの渦系系を適宜な有限個の自由渦系群と無変形渦系群に分ける。自由渦系群に初期に擾動を加えてその後のふる

まゝを追跡する。非変形渦系群は擾動を加えない場合の速度で移動する。各自由渦系の ( $x=0$  を中心にした)  $2 \times X_3^M$  の中の部分を等間隔に  $2N_2 + 1$  個のヴォートンでおまかえる。ヴォートンの発展するうちヴォートンの移動と渦度の变化はヴォートン間の相互作用、自由渦群のヴォートン以外の部分、非変形渦系群、連続的に分布した渦場 ( $|y| > a$ ) からの寄与から生ずる。ヴォートン間の相互作用は (2.13) (2.14) によって表わされる。

こゝで自由渦系を  $3 \times 3 = 9$  本とす

$$a_1 = 10, \quad a_2 = a_3 = 5$$

とおく。  $a_1, a_2, a_3$  はおのおの渦列中の渦系の間隔、渦列の間隔、1本の自由渦系上のヴォートンの間隔で、すべて初期における値である。長さは境界層底面における接線応力から計算した「摩擦長さ」で規格化してある。1本の自由渦系中のヴォートンの数は21である。初期の渦系は

$$\left. \begin{aligned} x &= a_1 l_1, \quad -\infty < l_1 < \infty \\ y &= (|l_2| + \frac{1}{2}) a_2, \quad l_2 = \pm 1, \pm 2, \dots, \pm N_2 \end{aligned} \right\} (3.1)$$

にある。自由渦系は初期に平行4辺形

$$\left. \begin{aligned} -a_1 - \frac{a_1}{a_2} (y - 2.5 a_2) \leq x \leq a_1 - \frac{a_1}{a_2} (y - 2.5 a_2) \\ 1.5 a_2 \leq y \leq 3.5 a_2 \end{aligned} \right\} (3.2)$$

の内部にある。  $x=0$  ( $l_1=0$ ),  $y=2.5 a_2$  ( $l_2=2$ ) にはあ

の渦糸 (ウオート) は

$$x = \sum e^{-z^2/\sigma^2} \cos \varphi$$

$$y = \sum e^{-z^2/\sigma^2} \sin \varphi$$

のように変形し、渦度は

$$\omega_1 = -\omega_3 \frac{z}{\sigma^2} \sum e^{-z^2/\sigma^2} \cos \varphi$$

$$\omega_2 = -\omega_3 \frac{z}{\sigma^2} \sum e^{-z^2/\sigma^2} \sin \varphi$$

$$\omega_3 = -T_2 / (a_1 a_2)$$

で与えられる。この計算では

$$z=1, \quad \sigma=10, \quad \varphi=90^\circ$$

とおいた。 $T_2$  は擾乱を与えた渦糸 ( $l_2=2$ ) の渦糸の循環である。

以上の初期条件のもとに計算を行った結果が第3図に (a) 右側に斜め方向からの立体図, (b) 側面図として示してある。第2図には (a) 自由渦糸群の変形部分のエンストロフィー (b) ヘリシティの時間変化が示してある。計算は  $t=30$  まで行ったが、9本の自由渦糸群では、 $t > 15$  で近似があまりよくないと考えられる。

#### §4. 絡む2つの渦輪の運動

今  $x, y$  面内、 $y, z$  面内にある、おのおの中心を原点、(1, 0, 0) にもつ、半径  $a$ 、断面半径  $b$ 、循環  $\Gamma$  の絡む2つの等し



11 渦輪を考へよ。渦輪はそれ自身その面に垂直な方向に移動速度をもっている。そこで、この場合垂直方向に移動速度をもっているからあき間隔を、非常に接近した部分が現れるであろう。このような状態において2つの渦輪は合体するが、通りぬけよか、不安定になるか興味ある問題である。

長さ  $\varepsilon a$  で、時間  $\varepsilon \pi b^2 / \Gamma$  で速度  $\varepsilon \Gamma a / \pi b^2$  で、渦度を  $\Gamma / \pi b^2$  で規格化する。  $\varepsilon/a = 0.1$ , 1つの渦輪を16に分割し、上述の状態を初期条件として行った計算結果を第3図にする。  $\Delta t = 0.1$  で  $t = 30$  まで行つたが、  $t = 4$  附近に「不安定」その後、いくつかのヴォートンの渦度が極端に大きくなる。第4図に (a) エンストロフィー (b) ヘリシティの時間的変化が示してある。ヘリシティは  $t = 4$  まで大体一定である。

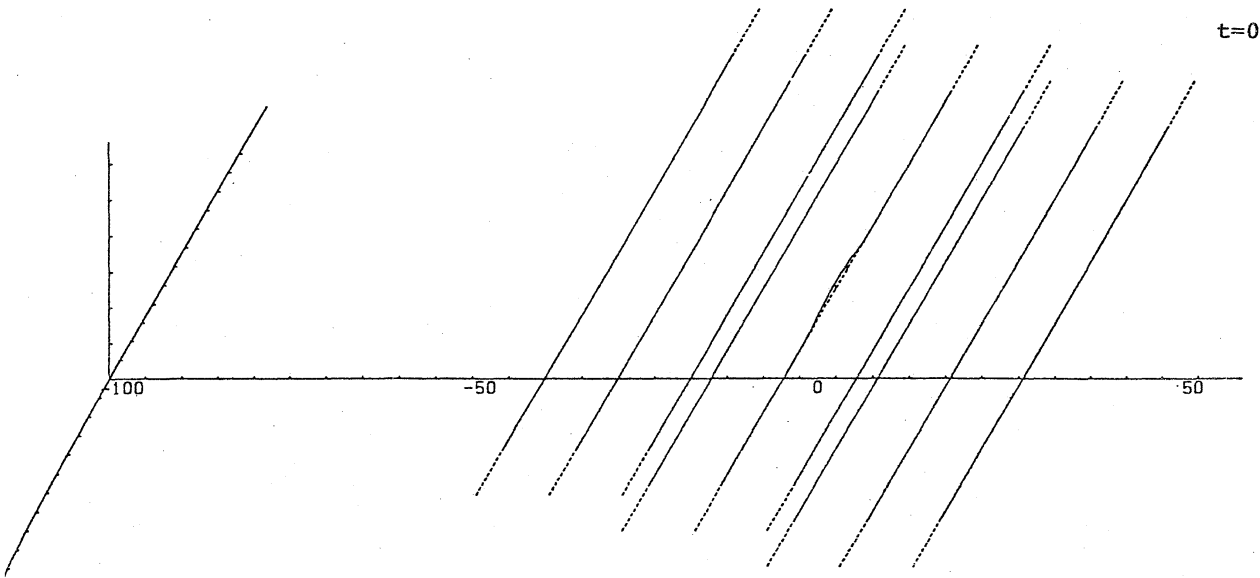
### 5.5. むすび

この論文ではヴォートン力学の基礎方程式を、渦場を細胞に分割し、各細胞の特徴を代表点の位置、渦度、体積で表現できるとして近似し、連続体としての流体の方程式から導いた。例題として乱流境界層のバーストと絡む2つの渦輪の問題を取扱った。両者において渦のつなぎかえは起つていない。ヴォートンが近づくとき渦度が急速に大きくなり、不安定になる現象が起るよりに思われる。渦のつなぎかえには計算

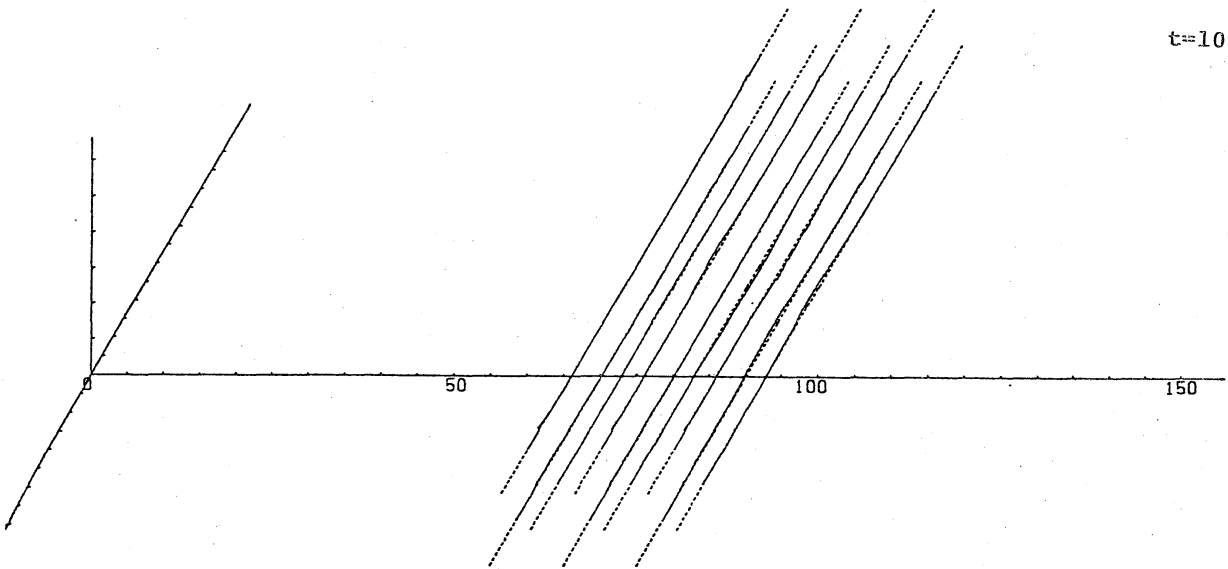
入中-4に何らかの渦度の拡散の効果をとり入れれば表わせないように思われる。

参考文献:

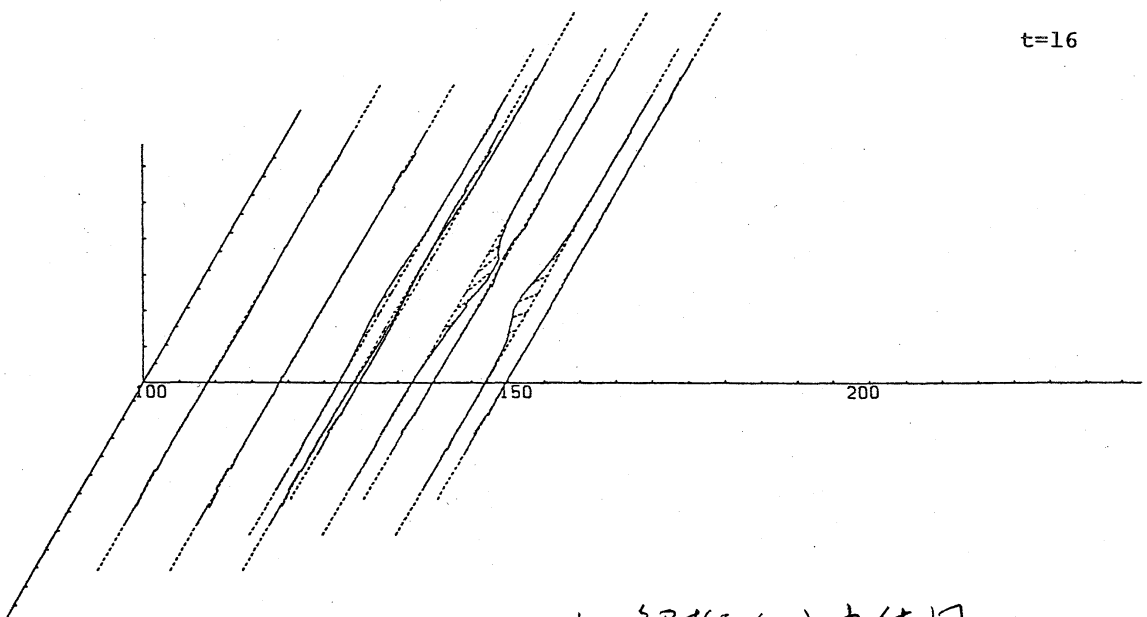
- 1) F. T. Beale & A. Majda: Math. Comp 39 (1982) I, 1-27: II, 29-52.
- 2) 桑原真二: 日本流体力学合誌 2 (1983) 177-187.
- 3) E. A. Novikov: Sov. Phys. JETP 57 (1983) 566-569.
- 4) P. G. Saffman: Vortex interactions and coherent structures in turbulence, in Transition and Turbulence (1981, Academic Press) 149-165.



$t=0$

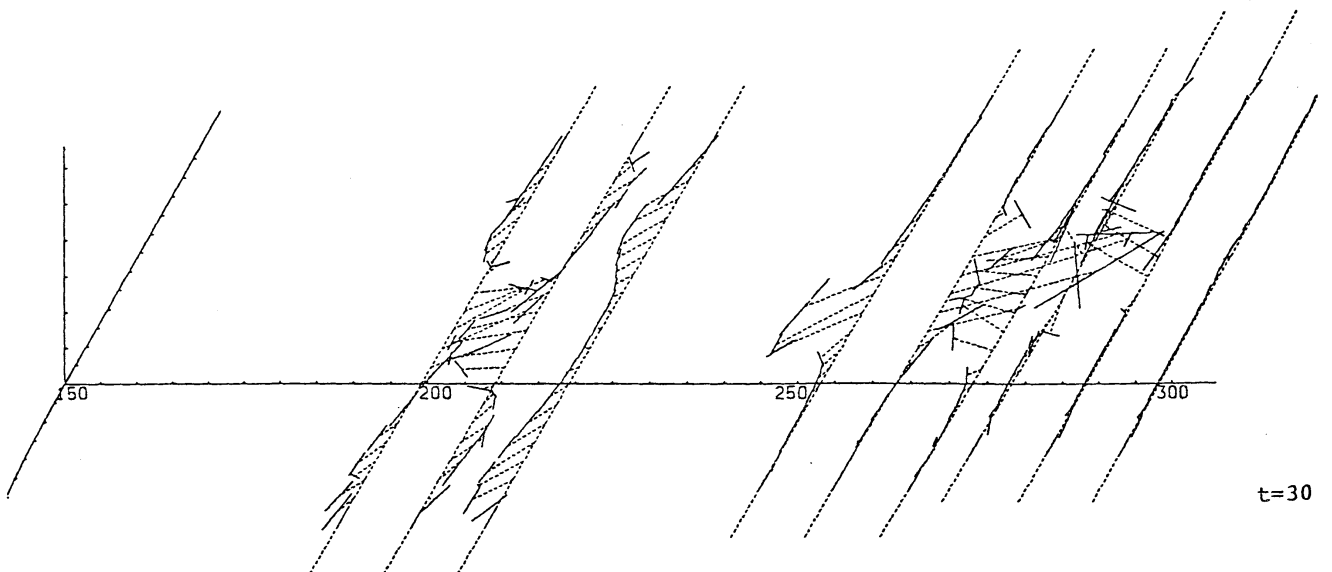
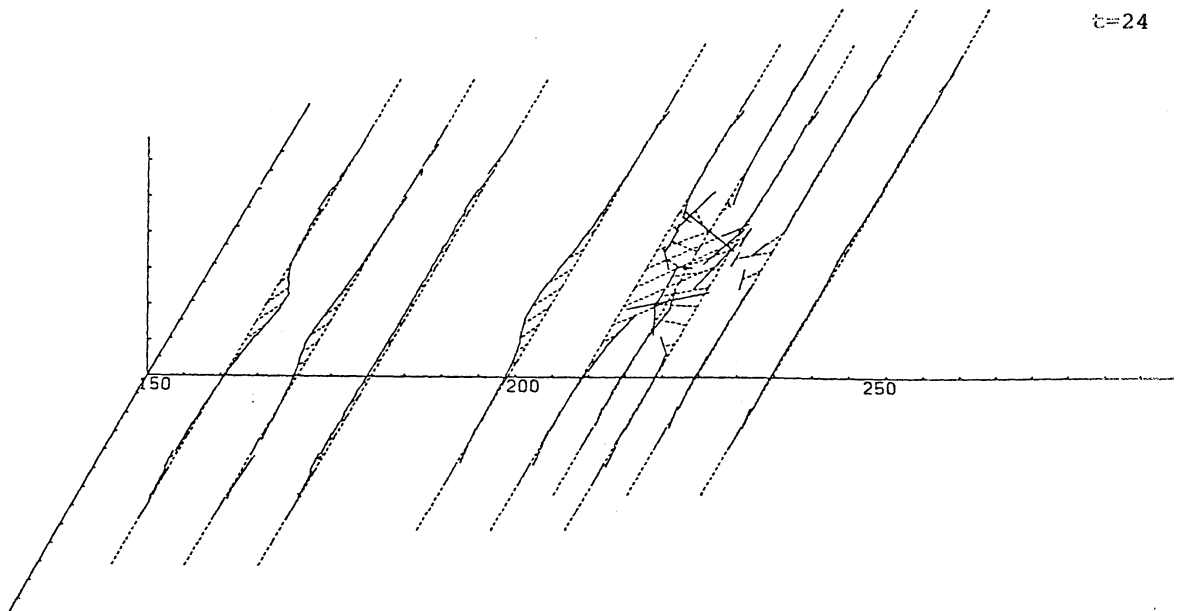
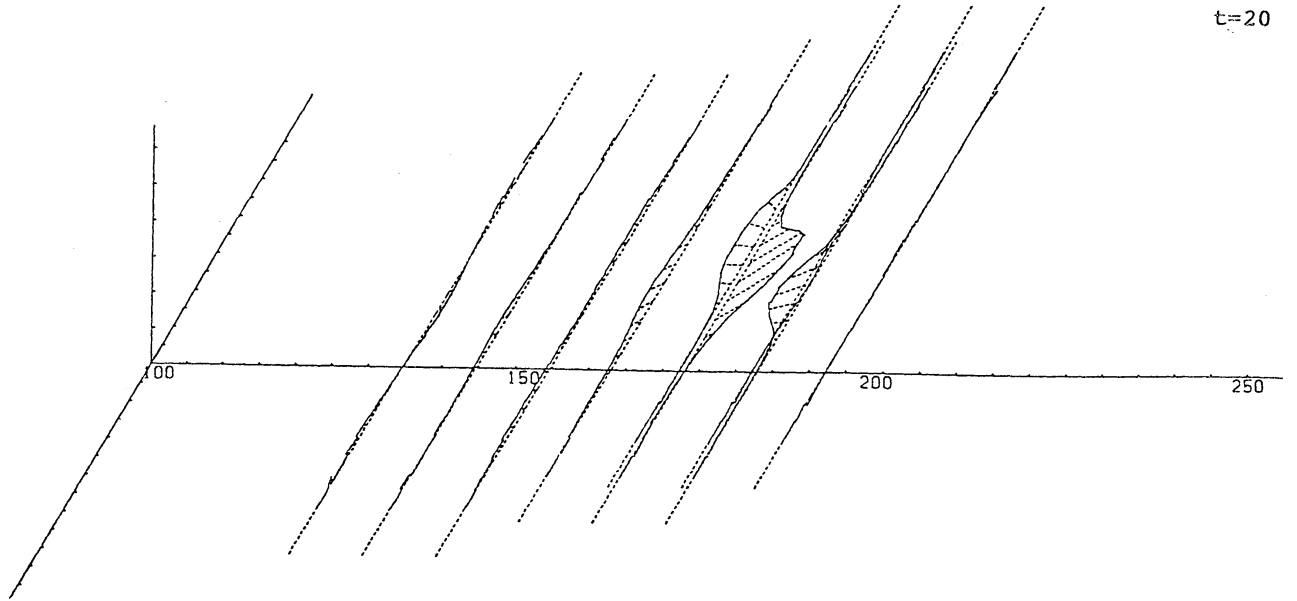


$t=10$



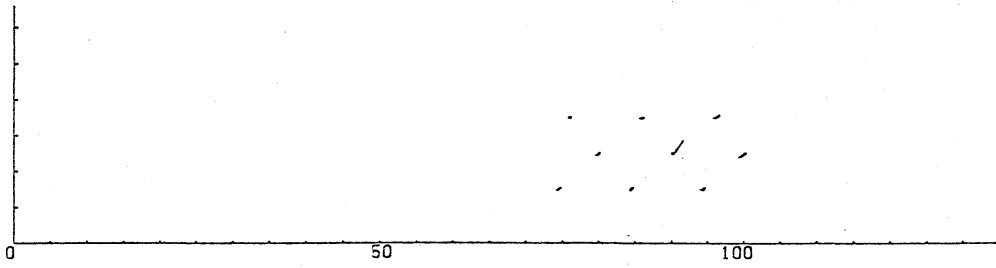
$t=16$

第1回 ウォーテン1283バーストの解析(a) 立体図

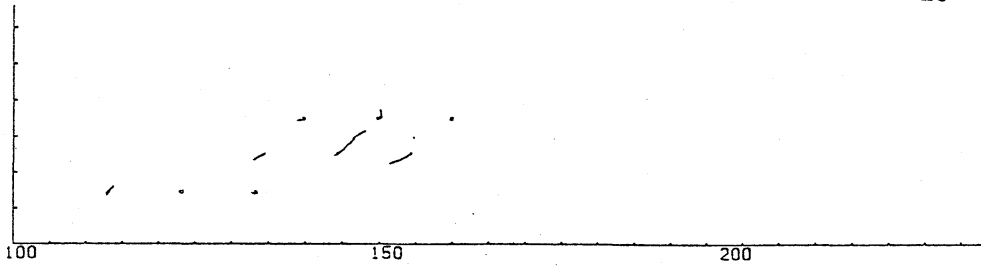


和圖(a) 續

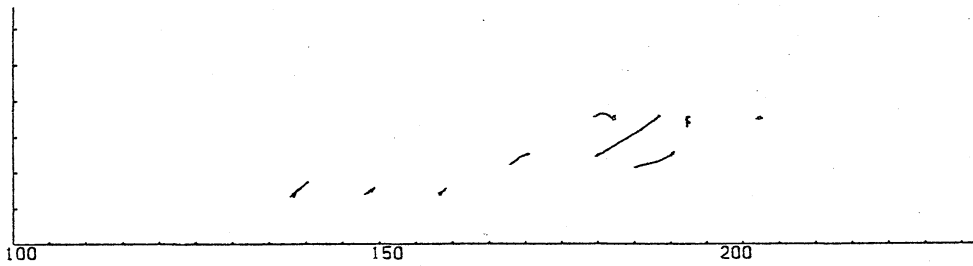
t=10



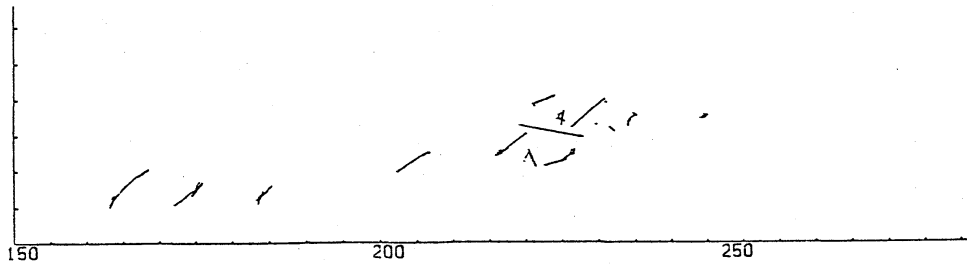
t=16



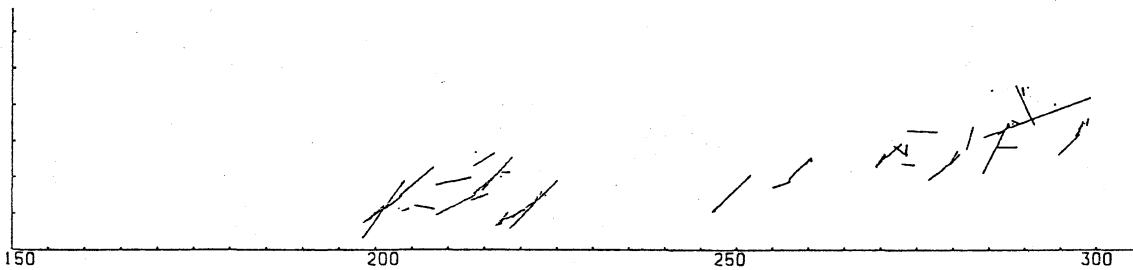
t=20



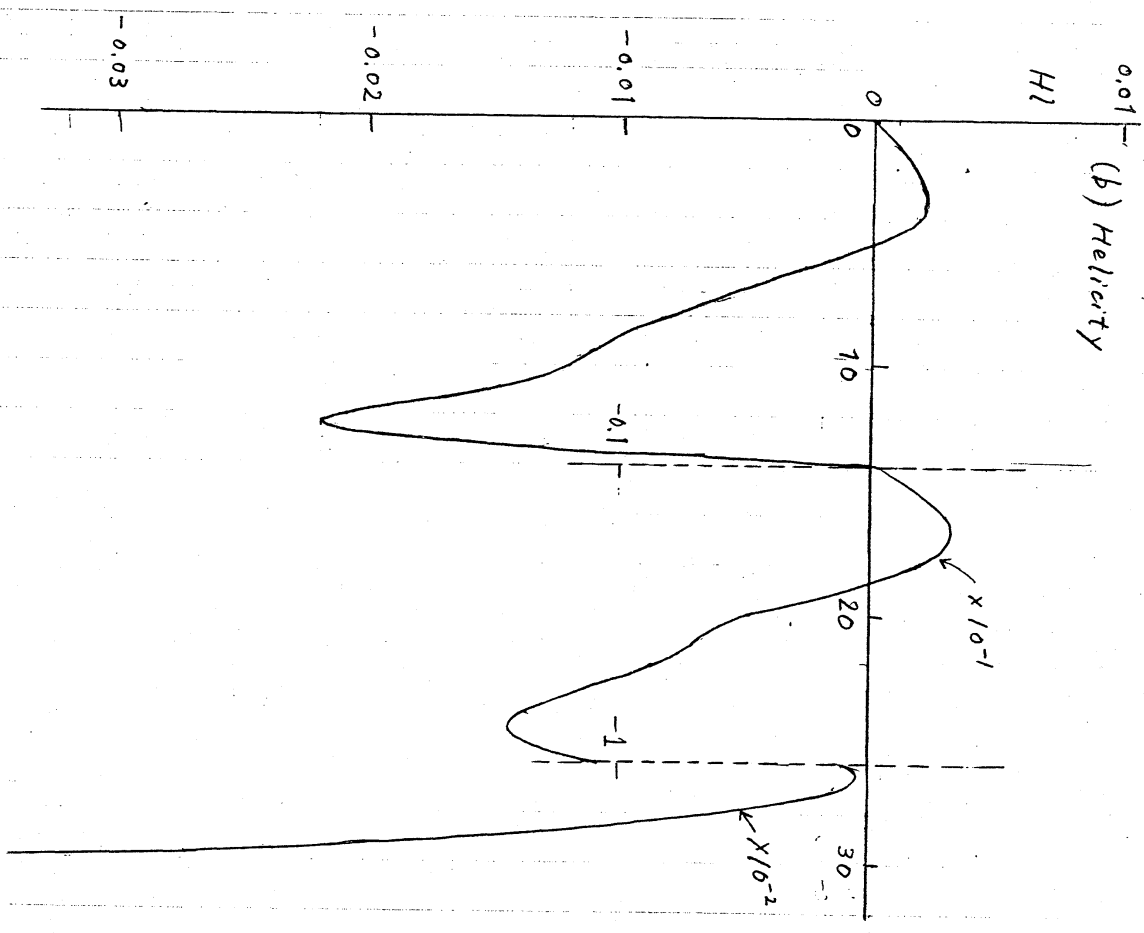
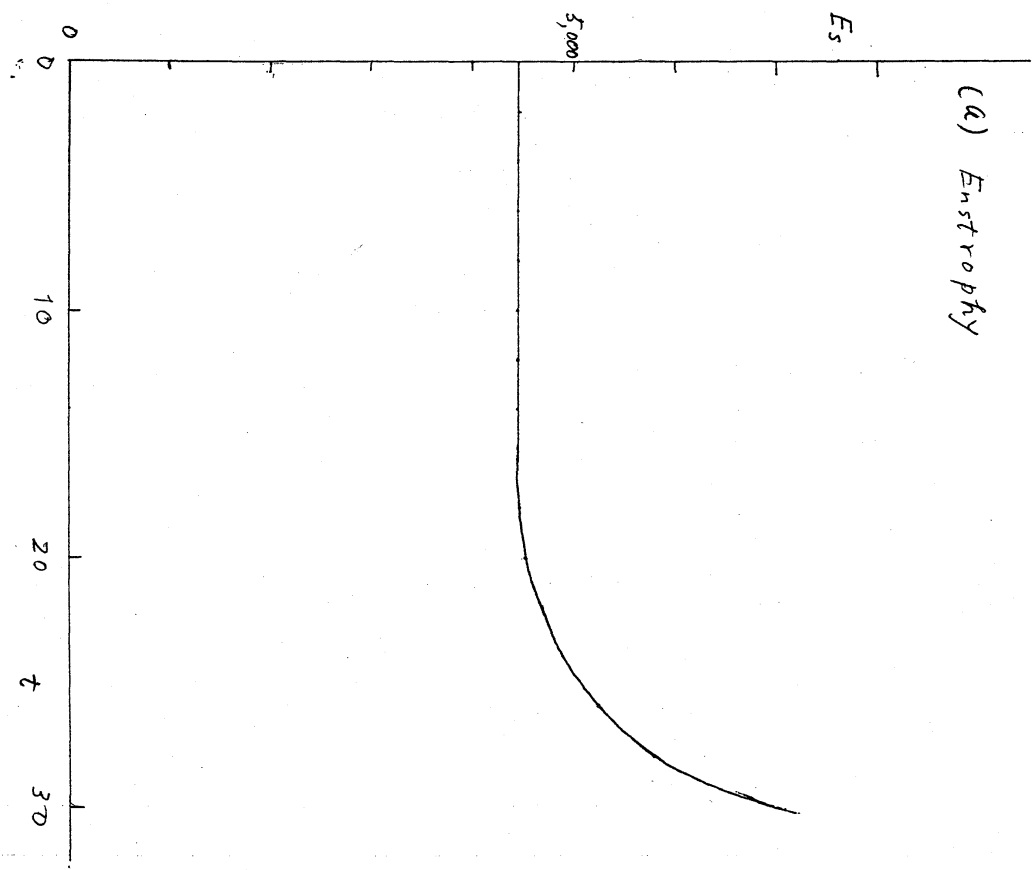
t=24



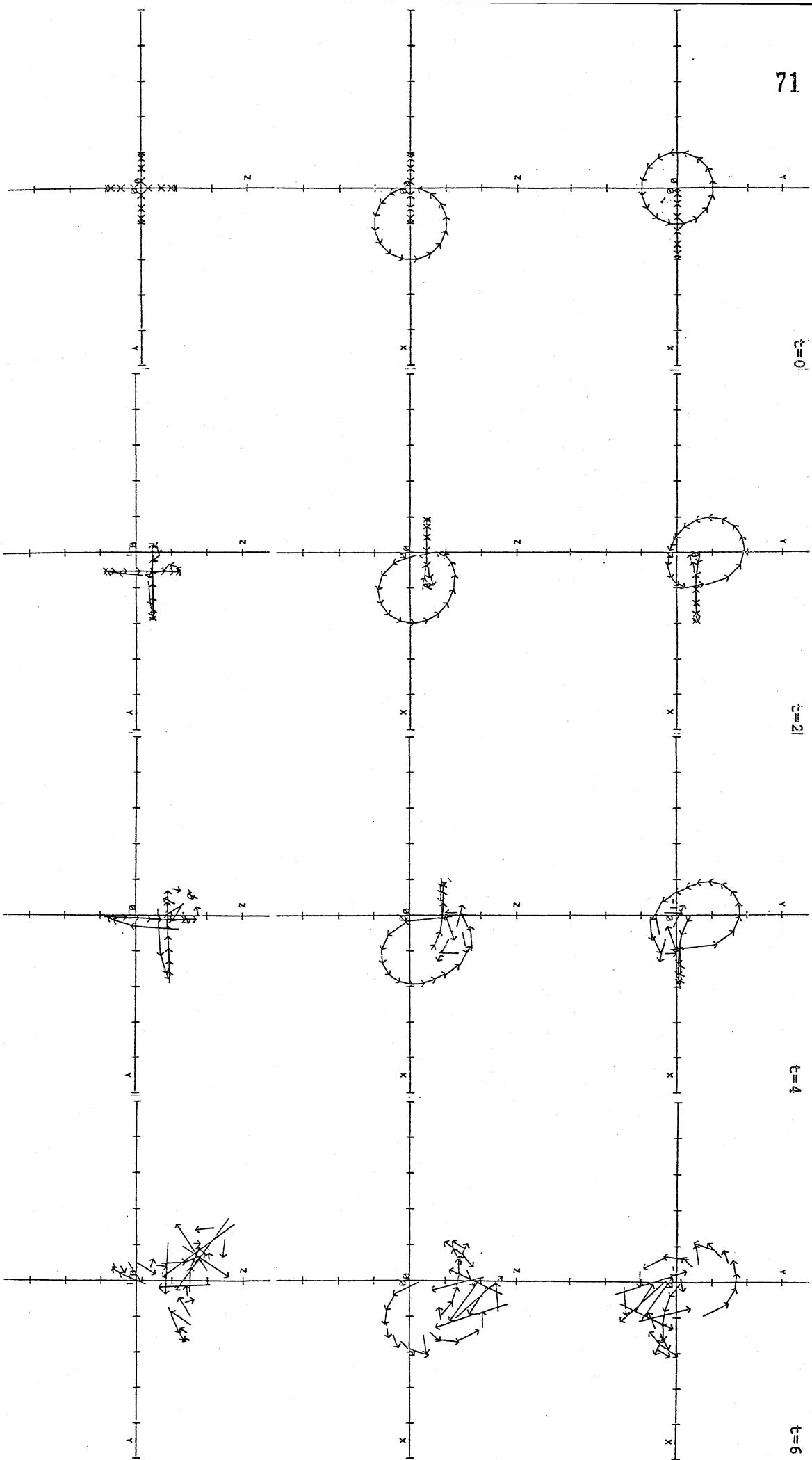
t=30



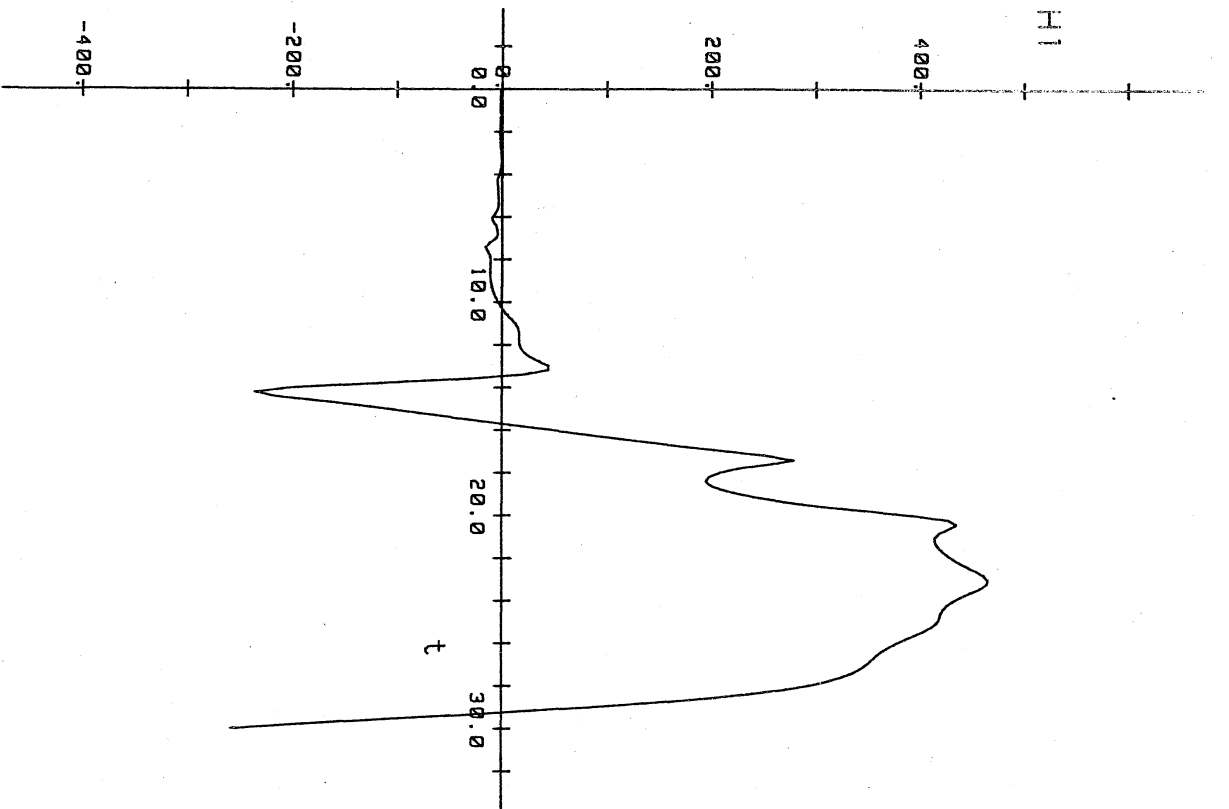
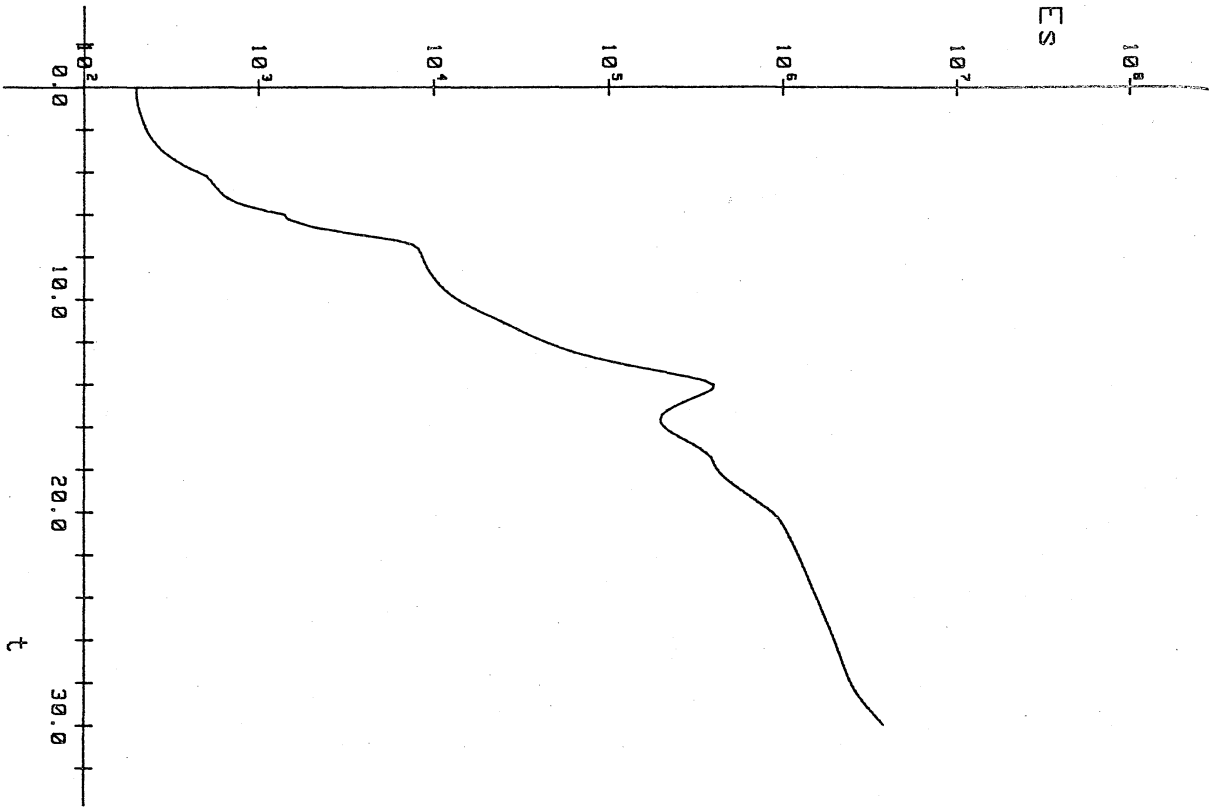
第1図 ウォートンによるハーストの解析 (b) 側面図



第2圖 ハルニストロフィー (a) エンストロフィー (b) ヘルシティの時間的変化。



第3图. オートソーンによる渦の2Dの渦輪の解析



第4图. 終了在2200rpmのときの(a)エーサーと(b)アミタ-9時間の变化